

Physique electroweak à D0

Boris Tuchming
CEA-Saclay

- Mesure des sections efficaces :
 - chandelles standard : production de bosons Z et W
 - WZ électrons, muons
 - WZ en taus
 - production de dibosons, sensible aux couplages de jauge trilinéaires
 - WZ, W γ , Z γ , WW
 - Parenthèse sur le W en muons
- Mesure des propriétés
 - W asymetrie
 - Z/ γ lepton asymétrie A_fb
- Masse et largeur du W

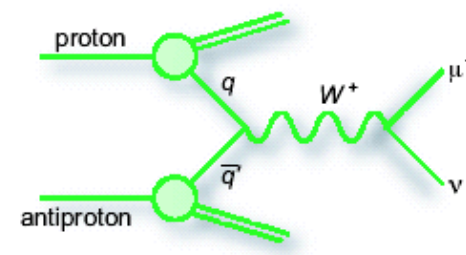
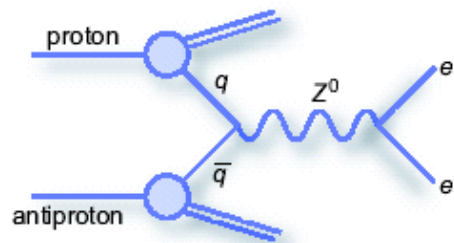


Les sections efficaces



Mesure des section efficaces Z et W en leptons

- Intérêt :
 - DéTECTEUR
 - Maîtrise des critères d'identification des leptons à qqs %
 - Maîtrise du détecteur à quelques % (eg: tracking)
 - Démontrer l'identification des taus
 - Physique
 - désintégration en $e, \mu, \tau \rightarrow$ test de l'universalité
 - Rapport $R = \sigma \times \text{Br}(W \rightarrow l\nu) / (\sigma \times \text{Br}(Z \rightarrow ll)) \rightarrow$ Mesure indirecte de $\Gamma_{W^+} \rightarrow |V_{cs}|$
 - Bruit de fond pour les recherches de nouvelles particules.



Mesure des section efficaces Z et W en leptons

Résultats actuelles (ICHEP) :

- les erreurs statistiques pratiquement négligeables (1%)
- systématique = 2 à 3.5%

$W \rightarrow l\nu$

- $e\nu : \sigma = 2865.2 \pm 8.3 \text{ (stat)} \pm 74.7 \text{ (sys)} \pm 186.2 \text{ (lumi)} \text{ pb}$
- $\mu\nu : \sigma = 3226 \pm 38 \text{ (stat)} \pm 185 \text{ (sys)} \pm 322 \text{ (lumi)} \text{ pb} \quad (04/03 \quad 17 \text{ pb}^{-1})$

$Z \rightarrow ll$

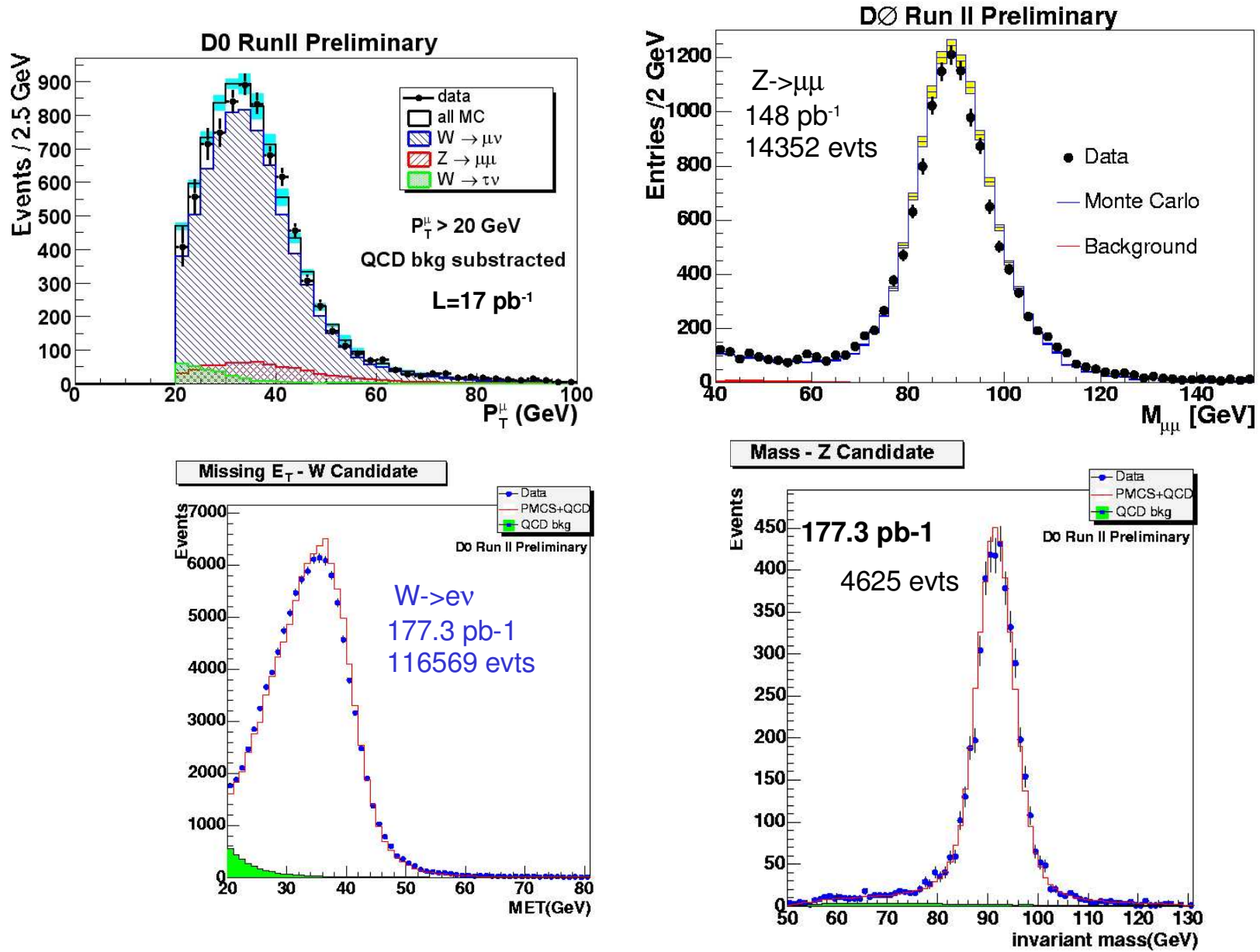
- $ee : \sigma = 264.9 \pm 3.9 \text{ (stat)} \pm 9.8 \text{ (sys)} \pm 17.2 \text{ (lumi)} \text{ pb} \quad (08/04)$
- $\mu\mu : \sigma = 291.3 \pm 3.0 \text{ (stat)} \pm 6.9 \text{ (sys)} \pm 18.9 \text{ (lumi)} \text{ pb} \quad (08/04)$

• Résultats comparables à CDF, un peu moins bons (electron Id \rightarrow 3% in ee)

- $e\nu : \sigma = 2780 \pm 14 \text{ (stat)} \pm 60 \text{ (sys)} \pm 167 \text{ (lumi)} \text{ pb}$
- $\mu\nu : \sigma = 2786 \pm 12 \text{ (stat)} \pm 60 \text{ (sys)} \pm 166 \text{ (lumi)} \text{ pb}$
- $ee : \sigma = 255.8 \pm 3.9 \text{ (stat)} \pm 5.5 \text{ (sys)} \pm 15.4 \text{ (lumi)} \text{ pb}$
- $\mu\mu : \sigma = 253.1 \pm 4.2 \text{ (stat)} \pm 7.3 \text{ (sys)} \pm 15.2 \text{ (lumi)} \text{ pb}$



Masse, Masse Transverse, Missing E_T



Mesure indirecte de la largeur du W

Preliminary Ratio and Indirect W Width measurement

$$R \equiv \frac{\sigma_W \times BR(1\nu)}{\sigma_Z \times BR(1l)} = \frac{\frac{\sigma_W}{\sigma_Z} \frac{\Gamma(Z)}{\Gamma(Z \rightarrow ll)}}{\frac{\Gamma(W \rightarrow l\nu)}{\Gamma(W)}} \quad \begin{array}{l} \text{Tree level NNLO QCD calc (Van Neerven)} \\ \text{SM EWK Calculation} \\ \text{PDG(LEP)} \end{array}$$

CDF: $R(e+\mu) = 10.92 \pm 0.15_{\text{stat}} \pm 0.14_{\text{syst}}$ (with 72 pb^{-1})
 DØ : $R(e) = 10.82 \pm 0.16_{\text{stat}} \pm 0.28_{\text{syst}}$

CDF:

NNLO, PDG $\rightarrow \sigma(pp \rightarrow W)/\sigma(pp \rightarrow Z) = 3.368 \pm 0.024$

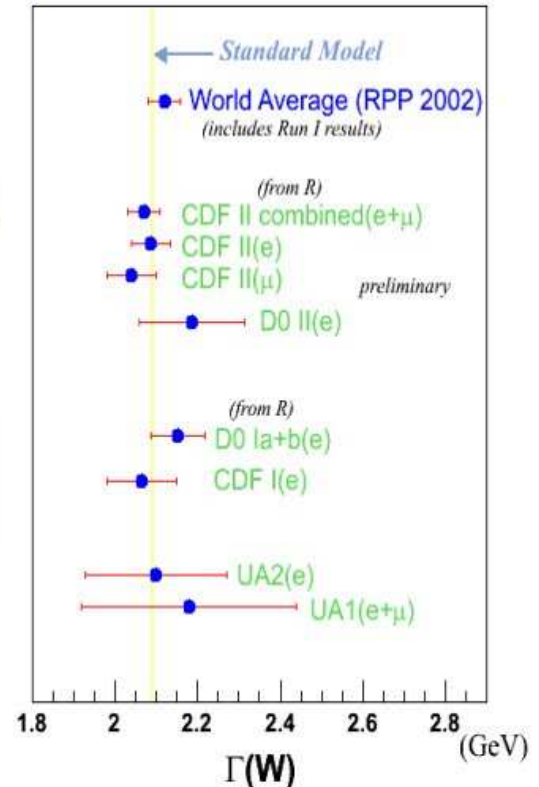
LEP $\rightarrow \Gamma(Z \rightarrow ll)/\Gamma(Z) = (3.366 \pm 0.002)\%$

$\rightarrow W \text{ width: } \Gamma_W = 2078.8 \pm 41.4 \text{ MeV}$

World average = $2118 \pm 42 \text{ MeV}$

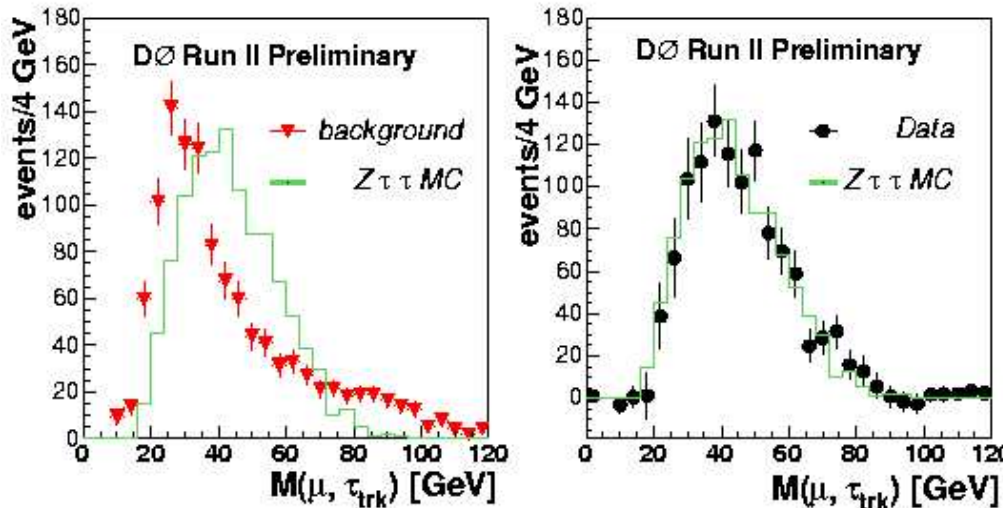
$$\Gamma_W = 3\Gamma_W^0 + 3 \left(1 + \frac{\alpha_s}{\pi} + 1.409 \left(\frac{\alpha_s}{\pi} \right)^2 - 12.77 \left(\frac{\alpha_s}{\pi} \right)^3 \right) \sum_{[\text{no top}]} |V_{qq'}|^2 \Gamma_W^0$$

$$\rightarrow V_{cs} = 0.967 \pm 0.030$$



Z et W en taus

- Collaboration review en ce moment pour le papier $Z \rightarrow \tau\tau$ avec 226 pb^{-1}
 - $\sigma = 261 \pm 16 \text{ (stat)} \pm 17 \text{ (sys)} \pm 16 \text{ (lumi)}$

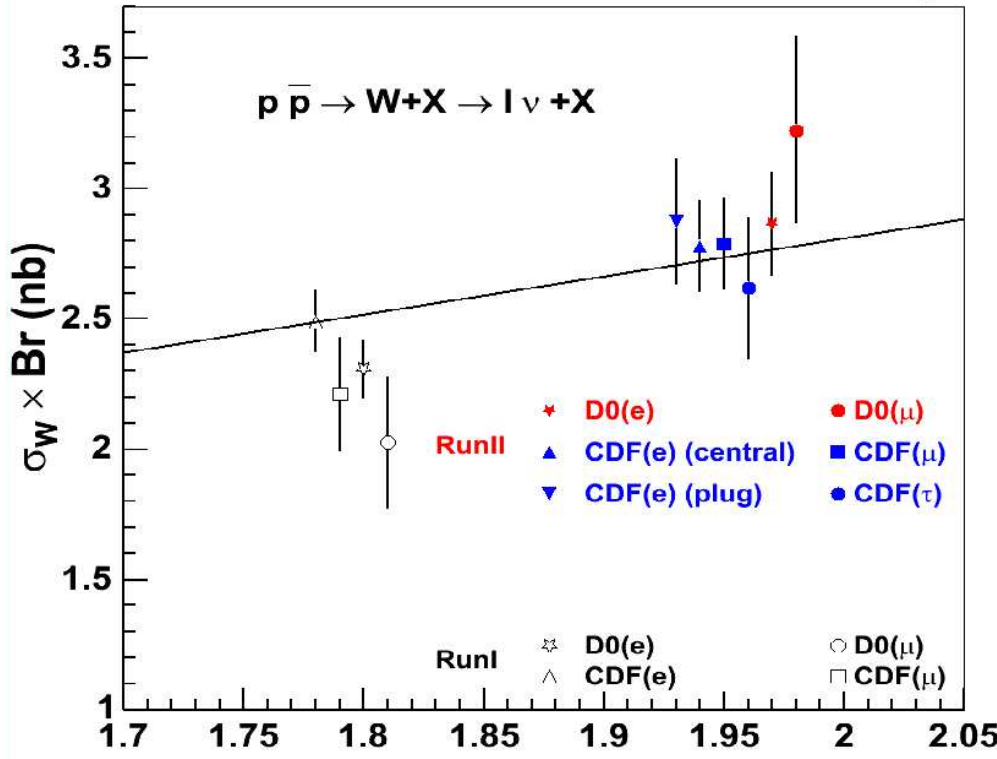


- CDF utilise moins de statistique (72 pb^{-1})
 - $\sigma = 242 \pm 48 \text{ (stat)} \pm 26 \text{ (sys)} \pm 15 \text{ (lumi)} \text{ pb}$
- CDF a aussi des premiers résultats pour $W \rightarrow \tau\nu$ (personne dans D0)
 - $\sigma = 2620 \pm 70 \text{ (stat)} \pm 210 \text{ (sys)} \pm 160 \text{ (lumi)} \text{ pb}$ (08/04)
 - mesure de l'universalité $g\tau/g\ell = 0.99 \pm 0.02_{\text{sta}} \pm 0.04_{\text{sys}}$

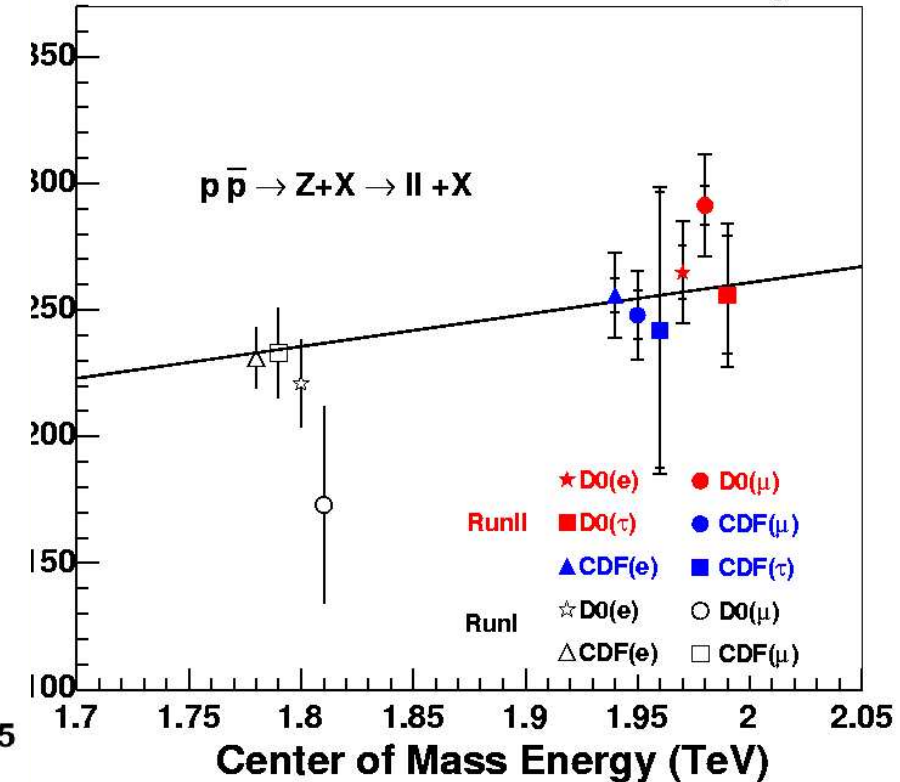
W/Z Cross Sections Summary

Current preliminary results consistent with SM

CDF and D0 RunII Preliminary



CDF and D0 RunII Preliminary



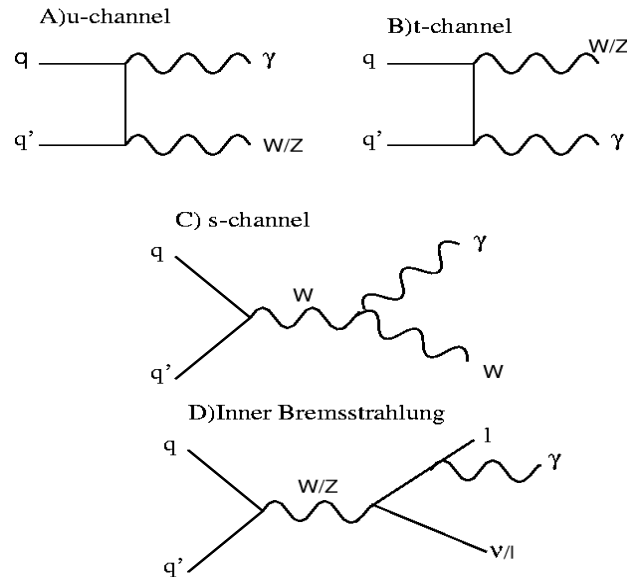
Theoretical calculation NNLO from Hamberg, van Neerven and Matsuura

Production de di-bosons



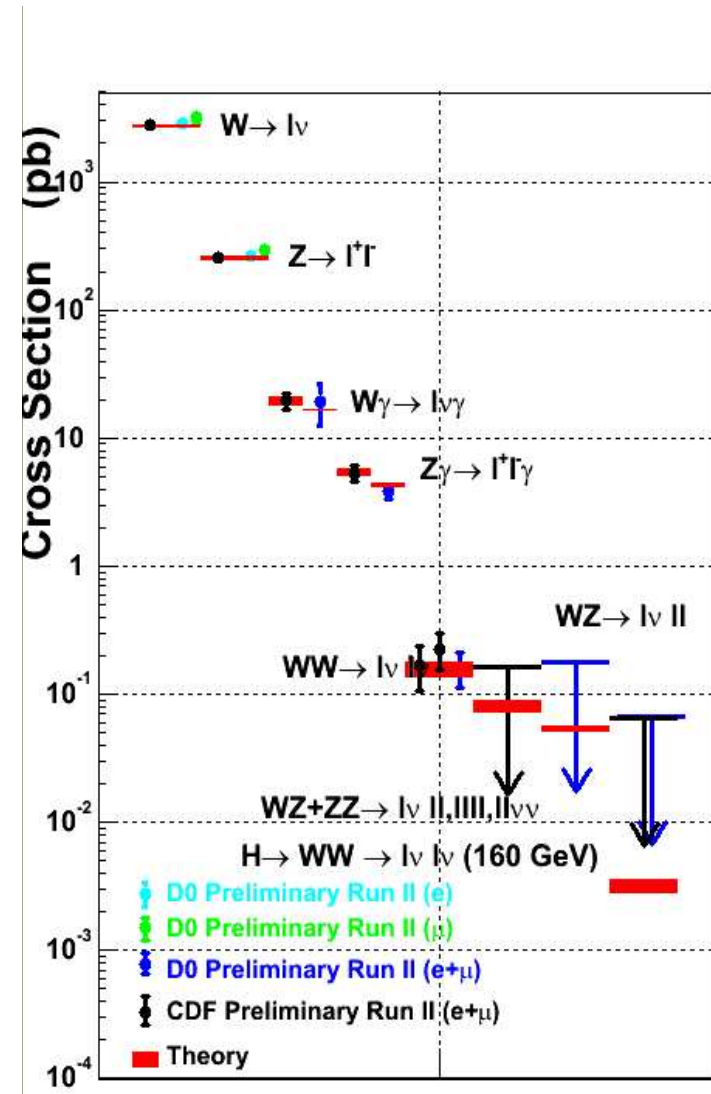
Production de di-boson

- Faibles sections efficaces



Incertitudes dominées par la statistique.

- $W\gamma$ 223 candidats ($\sim 160 \pm 80 \text{ pb}^{-1}$)
- $Z\gamma$ 101 candidats ($180 \pm 140 \text{ pb}^{-1}$)
- WW 25 candidats ($\sim 220 \text{ pb}^{-1}$)
- $WZ+ZZ$ 4 candidats ($\sim 200 \text{ pb}^{-1}$)
- Résultats compétitifs avec CDF.
- Bientôt traduit en termes de triple-gauge couplings



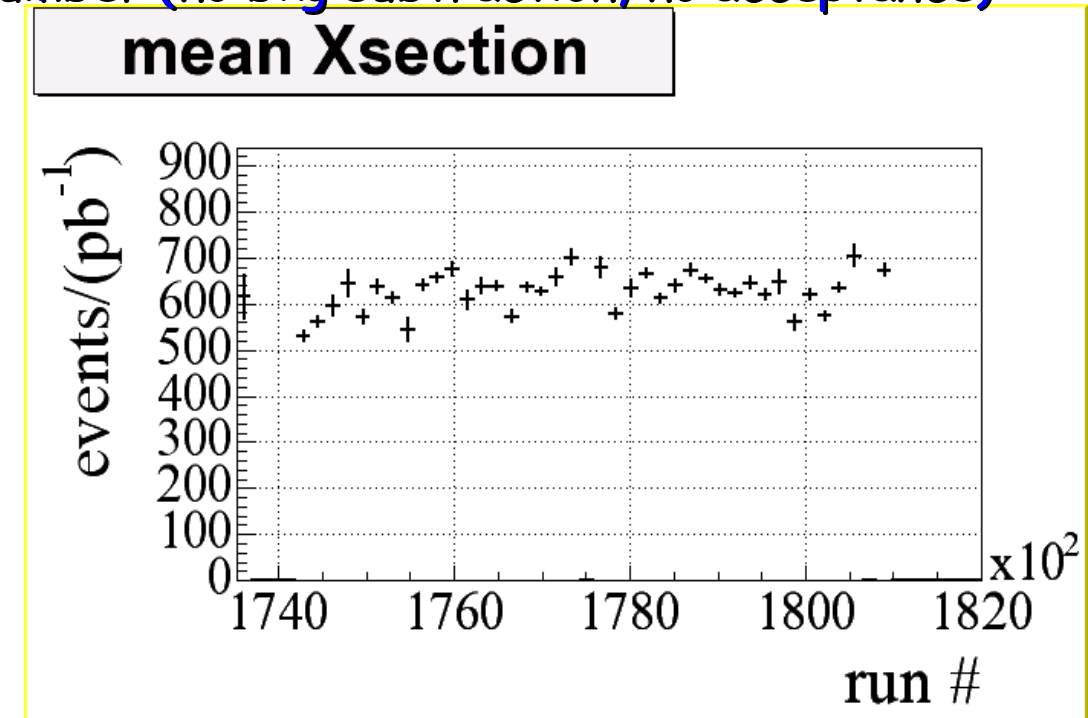
Parenthèse sur l'analyse $W \rightarrow \mu\nu$



- Ce qui diffère du $Z \rightarrow \mu\mu$
 - tracking + SMT hits.
 - Medium muon (loose dans $Z \rightarrow \mu\mu$)
 - Un seul muon !
 - efficacité ϵ dont il faut mesurer l'incertitude
 - efficacité dans le cas du Z : $2\epsilon - \epsilon^2$ est souvent proche de 1.
 - Bref toutes les efficacités sont à recalculer dans le cas du W .
- Objectif : incertitude systématique totale < 2%.
- Problèmes principaux :
 - stabilité de l'analyse avec le temps
 - Mesures des efficacités, il faut comprendre comment apparaissent les biais éventuels

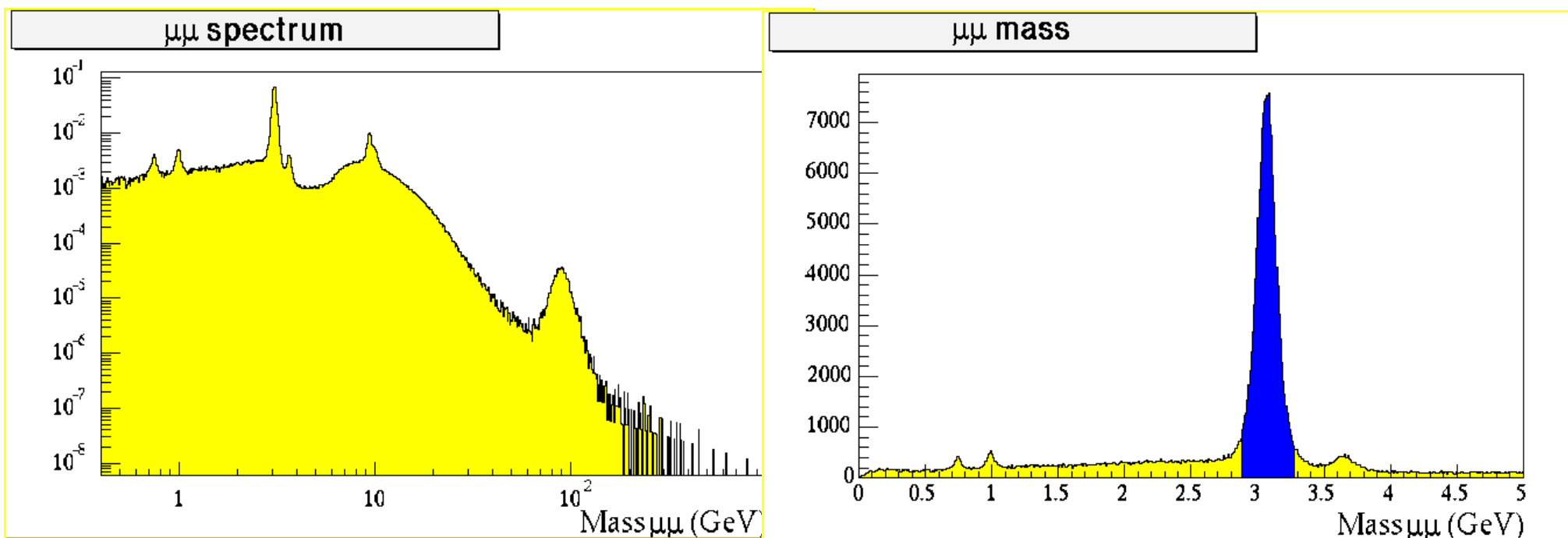
Exemple : stabilité de l'analyse

- #events/luminosity vs run number (no bkg subtraction, no acceptance)



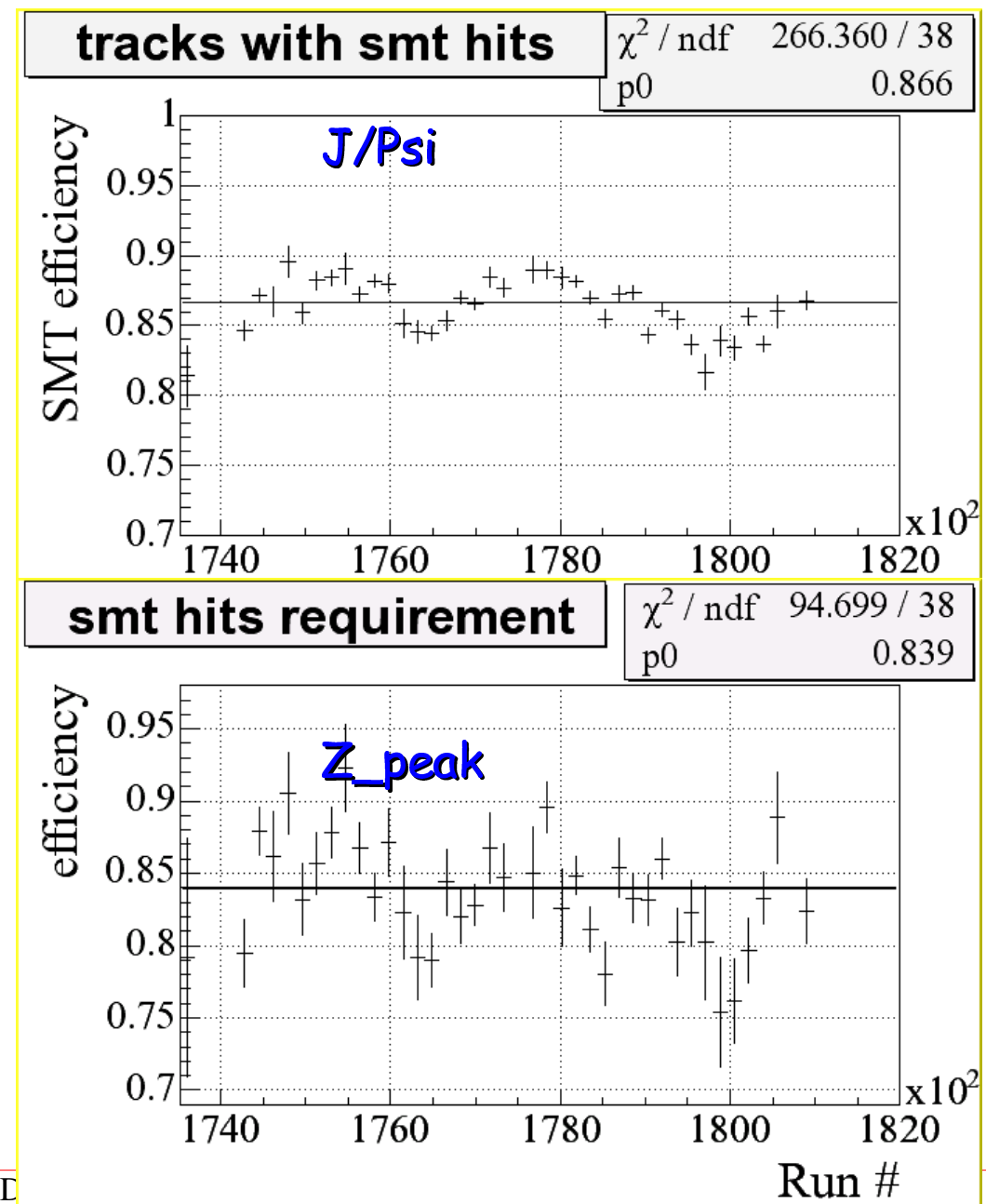
Look at the J/psi peak

- Use the Dimuon skim.
- 2 medium + idnseg=3 + opposit charges
- Pt> 3 GeV
- dimuon trigger L2_ETAPHI or L2_MO
- Calorimeter isolation Halo<3
- $2.88 < \text{Mass} < 3.28$



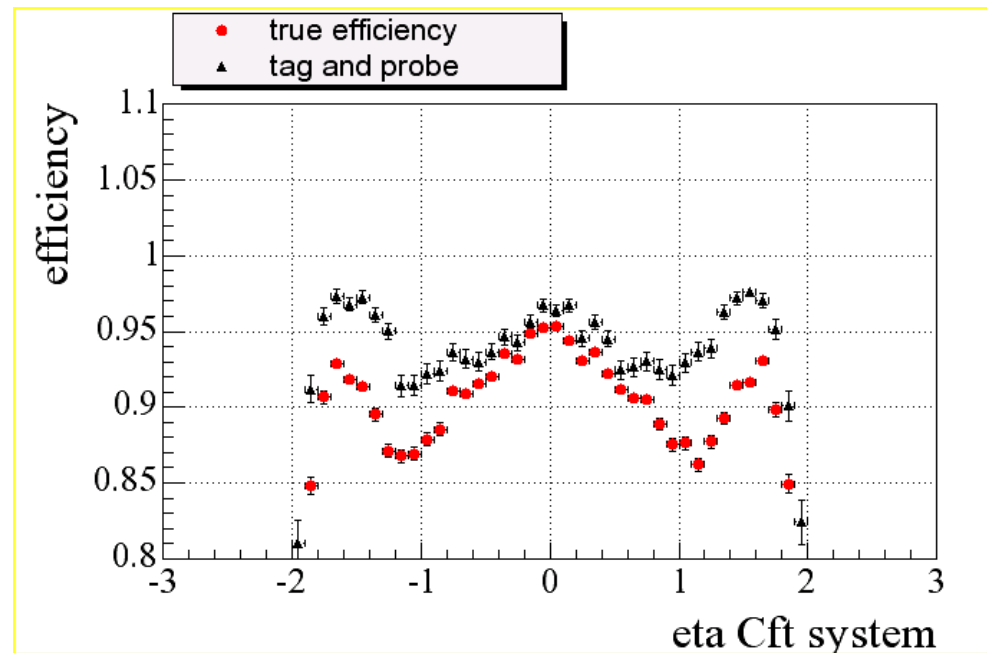
SMT hit efficiency J/psi peak

- Fraction of muon with SMT hits in the peak
- See clearly the same pattern as for Z peak data.
- The average value is not the same
 - Different eta distribution ?



Tracking(+SMT hits) bias

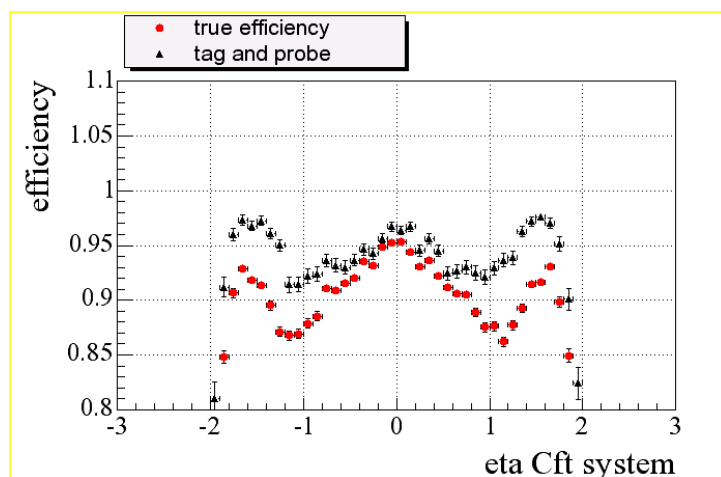
- Example of bias for tracking efficiency measurement :
 - Method for tracking efficiency measurement = tag and probe method.
 - We use Z-peak data
 - We require one muon (muon system + central tracker) on one side
 - We require one muon (muon system only) on the other side = test muon
 - Count the fraction of test muon with a matched central track
 - Using MC one can see that this method gives a 2% bias



- reason : tracking efficiency depends also upon z of the primary vertex (gaussian width = 28cm). Requiring a track for the first muon, biases the z distribution and thus the efficiency for the second muon

Solution for the tracking : split into bins of z

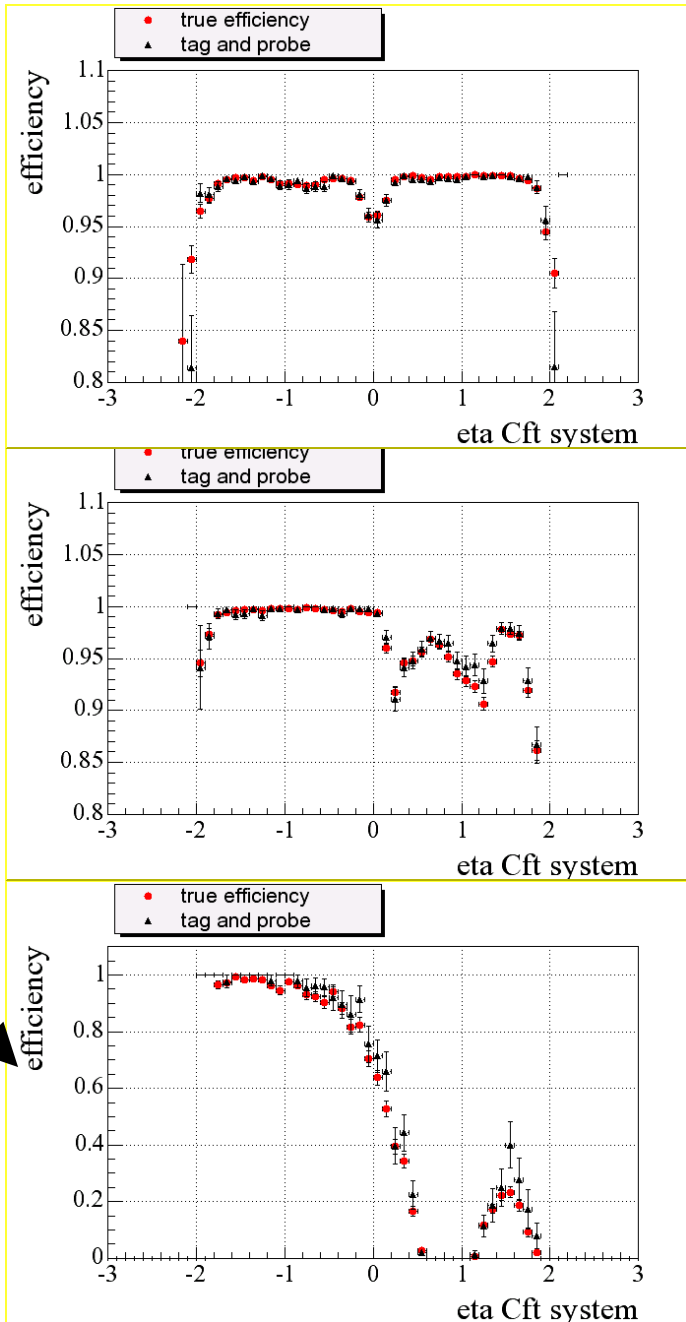
- Thus the bias is reduced from 2% to 0.3%



$-10 < z < 10$ cm

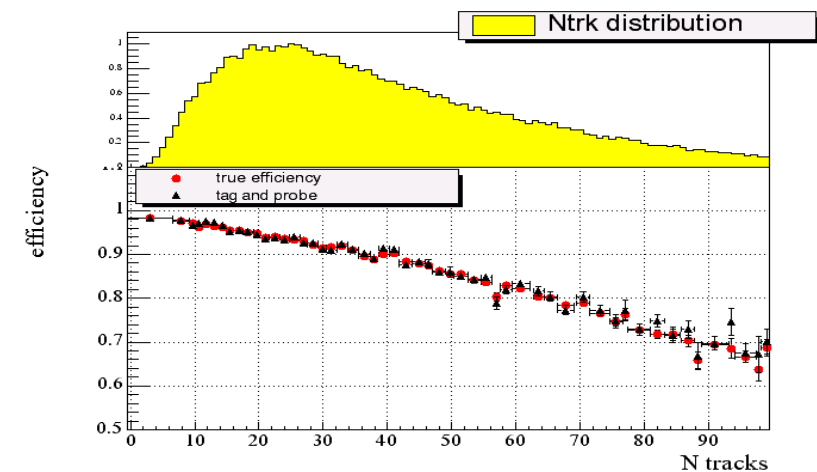
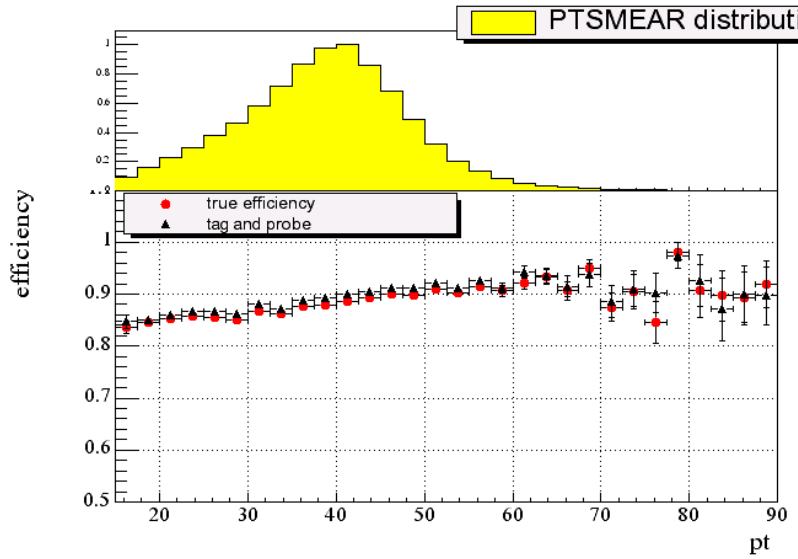
$10 < z < 39$ cm

$39 < z < 66$ cm



Isolation bias

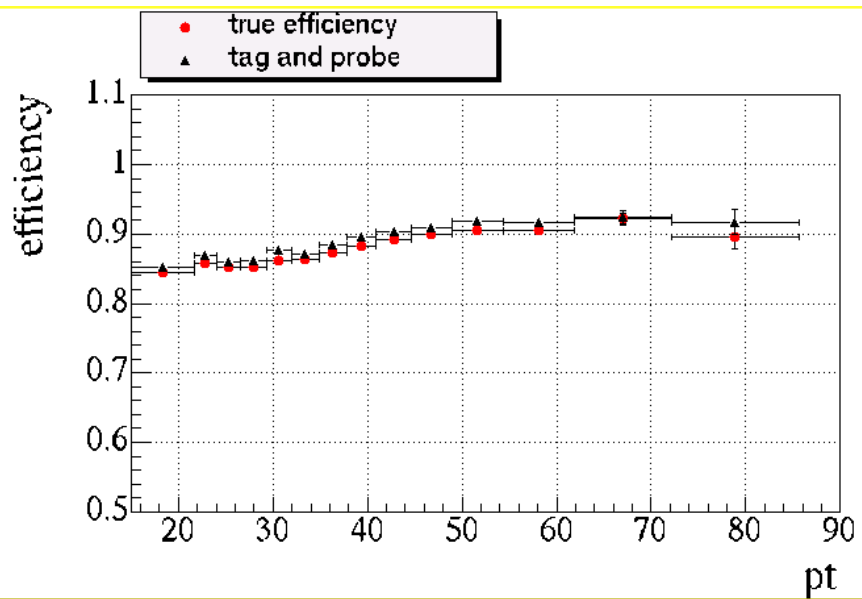
- Example of bias for isolation efficiency measurement :
 - Method for isolation efficiency measurement = tag and probe method.
 - We use Z-peak data
 - We require one muon on one side, isolated to suppress bbar background
 - We require one muon on the other side = test muon
 - Count the fraction of isolated test muon
 - Using MC one can see that this method gives a 1% bias



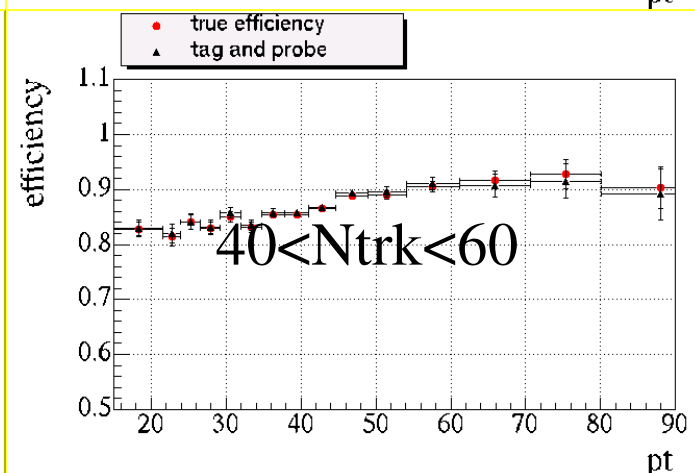
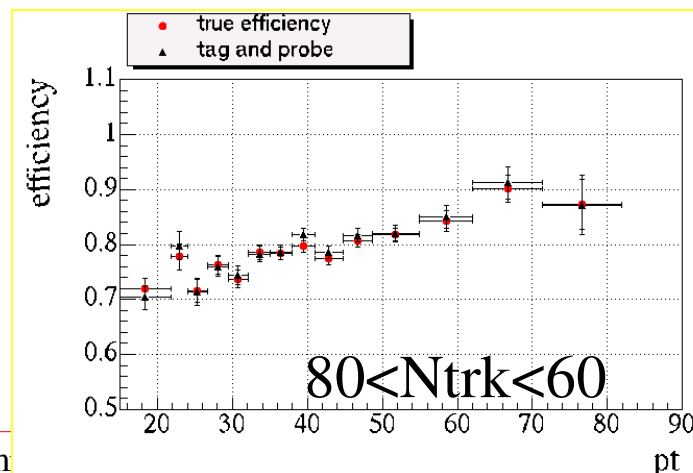
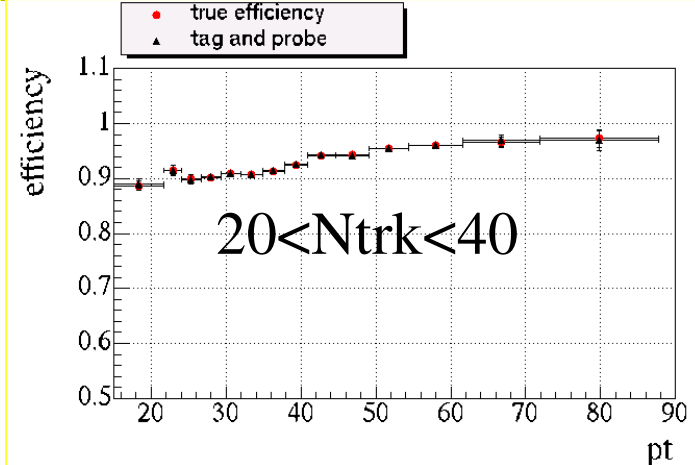
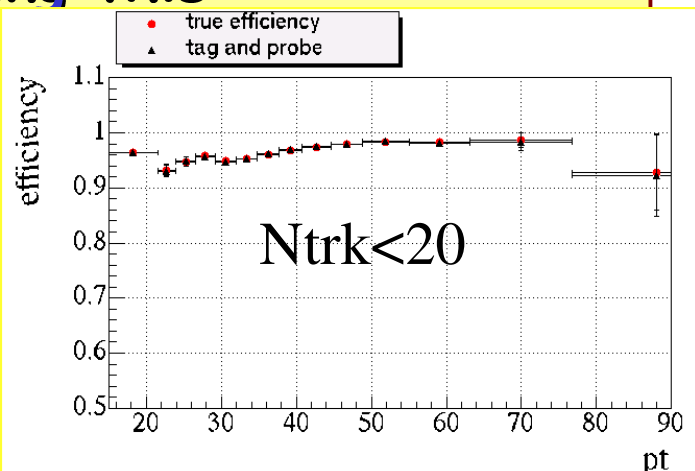
- reason : isolation depends upon overall detector occupancy



Another way of viewing this



- Overall efficiency as a function of Pt



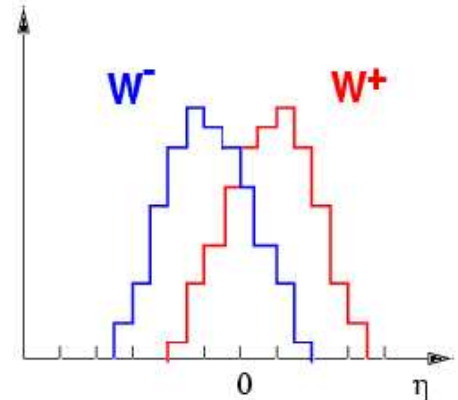
Mesure des asymétries



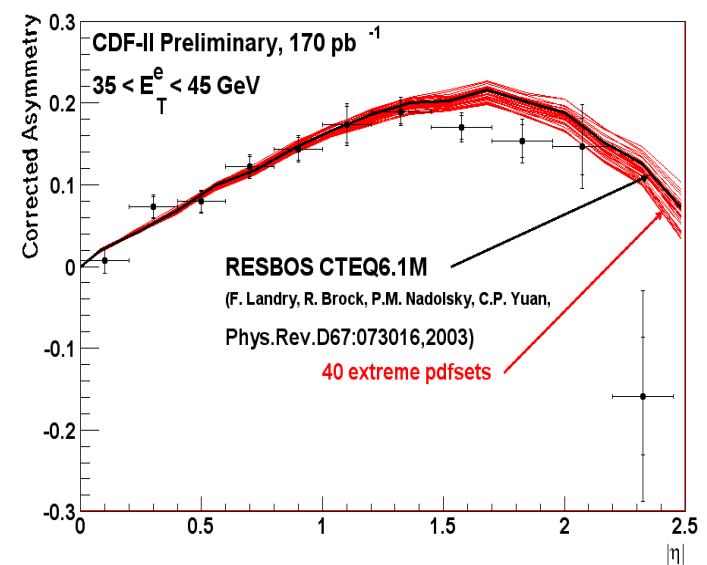
Asymétrie dans le W

- La production de W est asymétrique + interaction V-A
- => Asymétrie de charge dans la production de leptons

$$A(\eta_l) = \frac{d\sigma_+/d\eta_l - d\sigma_-/d\eta_l}{d\sigma_+/d\eta_l + d\sigma_-/d\eta_l} \sim \frac{d(x)}{u(x)}$$



- Permet de contraindre les PDF. (utile pour la mesure de M_W)
- Seule CDF à des résultats pour l'instant Run II (et Run I)
- Analyses embryonnaires dans D0



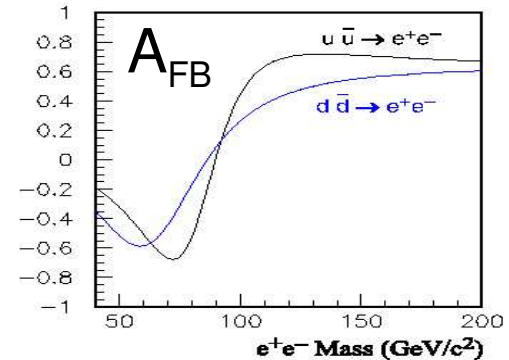
Asymétrie avant arrière pour le Drell-Yan

- Asymétrie due à la partie axiale du couplage du Z au fermions et à l'interférence Z/γ
 - mesure des couplages aux leptons
 - mesure des couplages aux quarks
 - sensible à l'interférence avec un Z' = complémentaire de la recherche directe

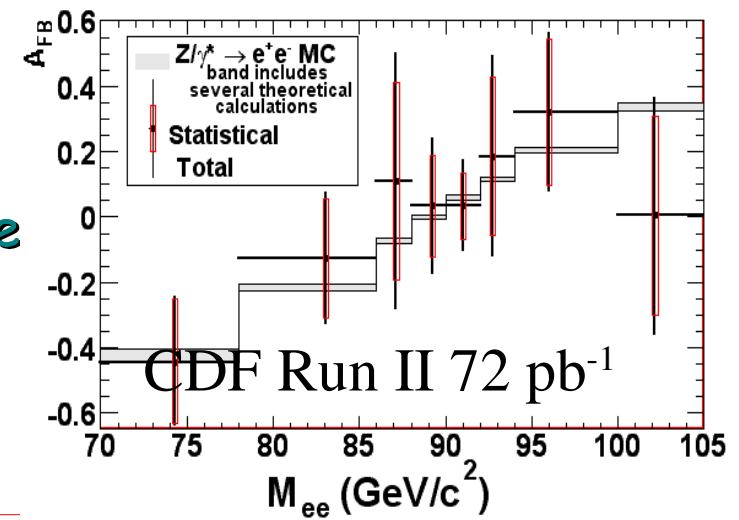
$$\frac{d\sigma}{d\cos\theta} = A(1 + \cos^2\theta) + B\cos\theta$$

$$A_{FB} = \frac{d\sigma(\cos\theta > 0) - d\sigma(\cos\theta < 0)}{d\sigma(\cos\theta > 0) + d\sigma(\cos\theta < 0)}$$

$$A_{FB} = \frac{3B}{8A}$$



- Seule CDF présente des résultats RunII :
 $\sin^2\theta_W = 0.2238 \pm 0.0046(\text{stat}) \pm 0.0020(\text{syst})$
 $\chi^2/\text{ndf} = 12.71/14.0$
- Il faut environ 10 fb^{-1} pour espérer être compétitif avec LEP+SLD
- Pas d'analyse à D0

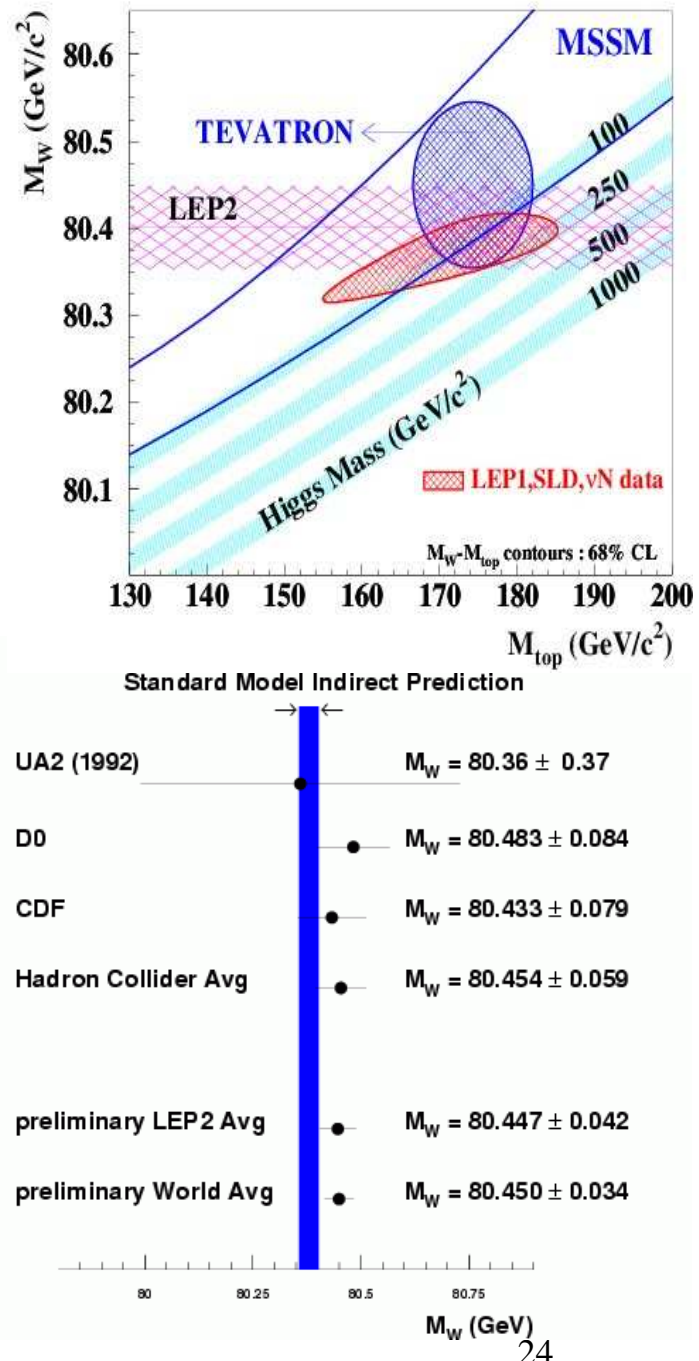


Mesure de la masse et la largeur du W



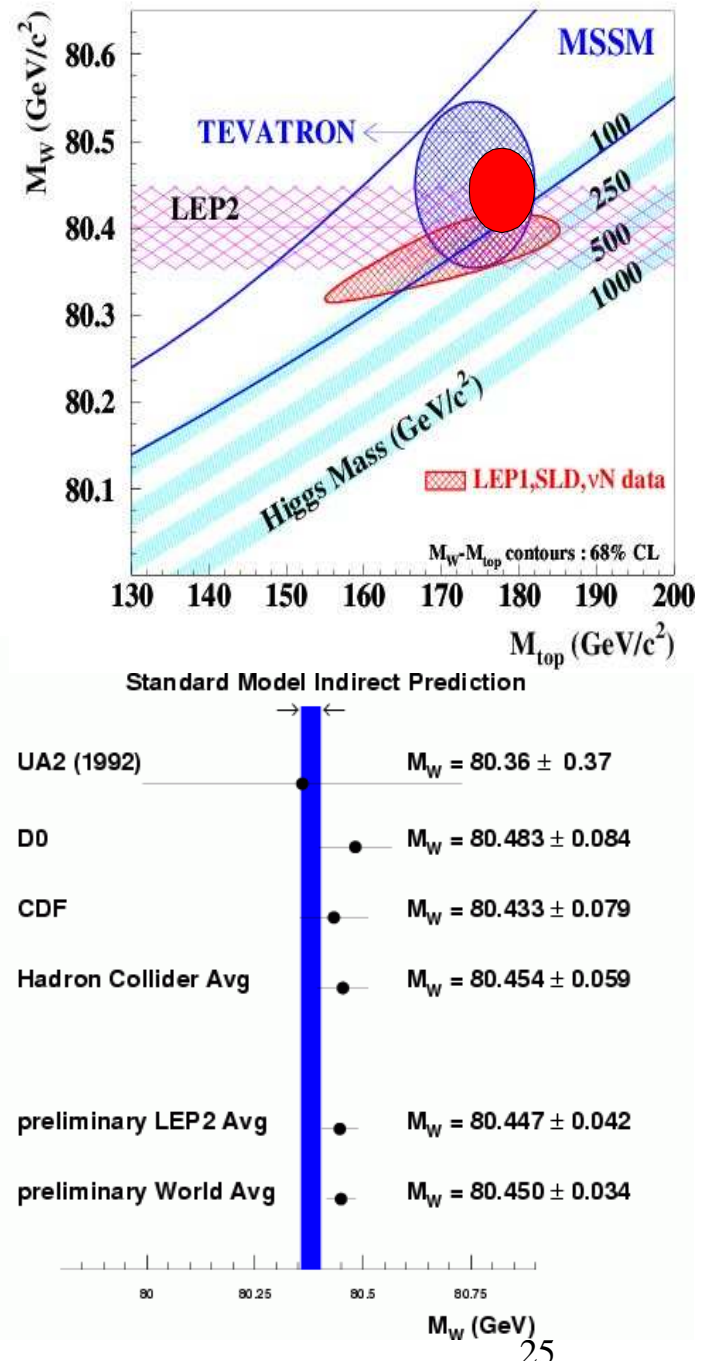
Masse du W

- Un des enjeux principaux du Tevatron
- Permet de contraindre la masse du Higgs.
- DO Run I (ev):
 - incertitude ± 84 MeV (dont ± 60 dû à N_W)
- « Objectif » du Run II avec 2fb^{-1}
 - ~ 40 MeV
 - ~ 30 MeV combiné avec CDF
- LHC avec 10 fb^{-1} , 25 MeV per experiment ?
- Objectif à court terme (été 2005) : avoir un résultat comparable au Run I.
Pick-event massif pour un reprocessing
- CDF clame avoir à ce jour une incertitude plus faible qu'au Run I (76 MeV)



Masse du W

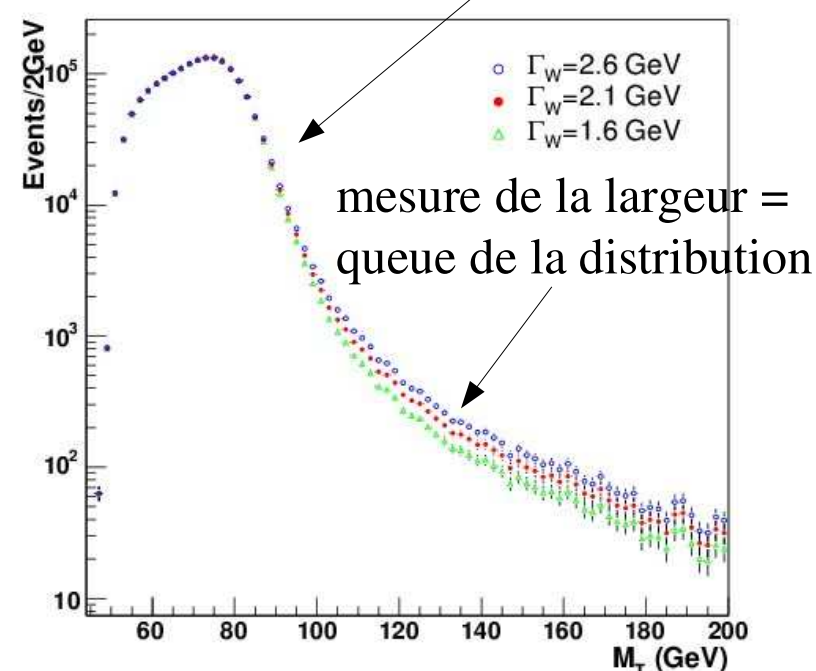
- Un des enjeux principaux du Tevatron
- Permet de contraindre la masse du Higgs.
- DO Run I (ev):
 - incertitude ± 84 MeV (dont ± 60 dû à N_W)
- « Objectif » du Run II avec 2fb^{-1}
 - ~ 40 MeV
 - ~ 30 MeV combiné avec CDF
- LHC avec 10 fb^{-1} , 25 MeV per experiment ?
- Objectif à court terme (été 2005) : avoir un résultat comparable au Run I.
Pick-event massif pour un reprocessing
- CDF clame avoir à ce jour une incertitude plus faible qu'au Run I (76 MeV)



Mesure directe de la largeur Γ_W

- Moins sensible aux problèmes du calorimètre que la mesure de la masse.
- Nécessite des outils et des études communs à la mesure de la masse, mais avec une précision moindre :
 - Réponse électromagnétique, Réponse du calorimètre hadronique, étude du recul.
- Après cette mesure, la mesure de la masse ne commence pas from scratch.

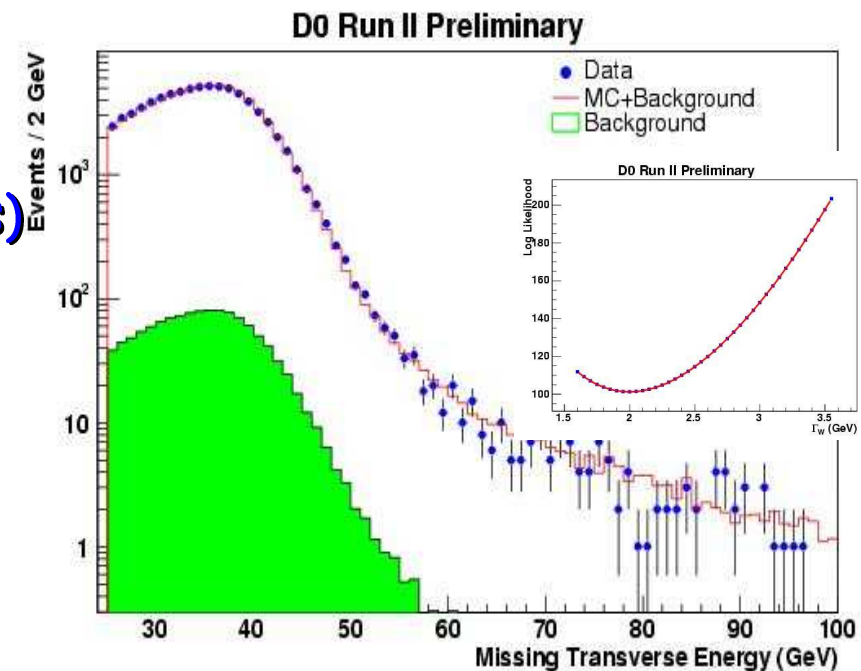
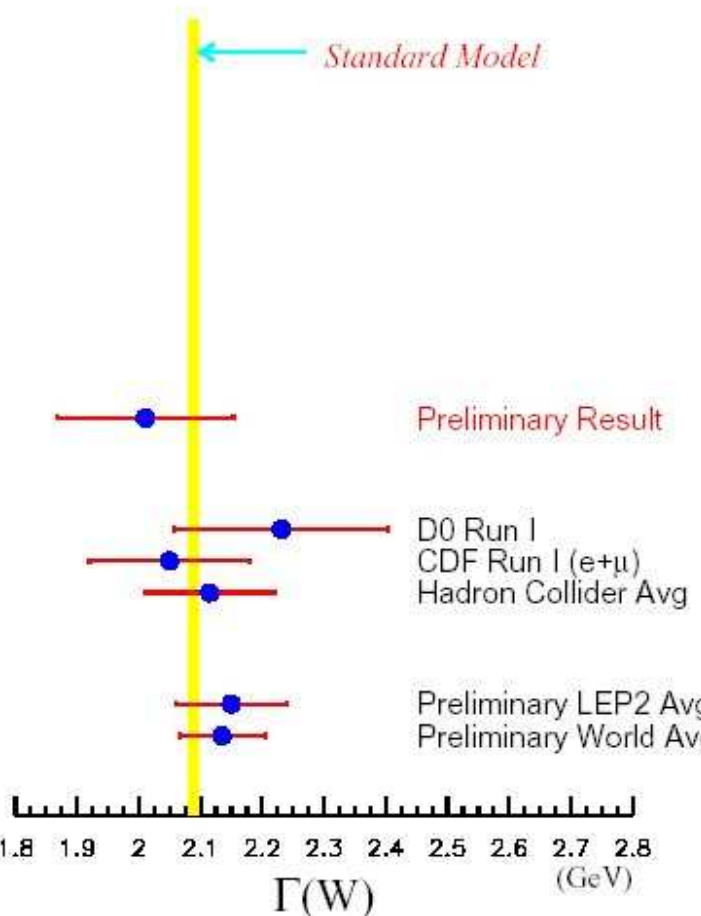
Mesure de la masse = bord de la distribution



mesure de la largeur = queue de la distribution

Mesure directe de la largeur Γ_W

- 177 pb^{-1}
- Une mesure compétitive avec D0 RunI
 - $\Gamma_W = 2.011 \pm 0.093 \text{ (stat)} \pm 0.099 \text{ (sys)}$



Conclusion

- Un programme physique très vaste.
- De nombreux résultats :
 - Sections efficaces Zee, $Z\mu\mu$, $W\gamma\gamma$
 - Production de diboson.
 - Largeur du W
- De nombreux sujets montrent du retard par rapport à CDF.
 - asymétries, masse, $W\mu\nu$.
- Certains sujet ne sont pas couverts
 - Asymétrie du Drell-Yann. $W \rightarrow \tau\nu$
- Au sujet de la masse
 - La mesure de la masse commence un peu tard
 - Est-ce que la compréhension actuelle du calo est suffisante ?
 - Est-ce que les objectifs de D0 sont tenables (40 MeV) ?



Backup



CDF W Mass Systematic Uncertainties

Systematic	Electrons (Run 1b)	Muons (Run 1b)	
Lepton Energy Scale and Resolution	70 (80)	30 (87)	
Recoil Scale and Resolution	50 (37)	50 (35)	
Backgrounds	20 (5)	20 (25)	
Statistics	45 (65)	50 (100)	CDF RUN II PRELIMINARY
Production and Decay Model	30 (30)	30 (30)	
Total	105 (110)	85 (140)	

Total uncertainty (76 MeV) already lower than Run 1 (79 MeV)

Some uncertainties scaled better than statistics:

* Muon energy scale → now using J/ψ's, upsilons to set scale

Work in progress on other sources of uncertainty:

* Recoil resolution → to understand hard interaction better

* Electron energy scale → to understand passive material better

Have twice the data on tape

Could approach 50 MeV combined uncertainty by next year

C. Hays, Duke University, ICHEP 2004



Channel	# events	Purity (%)	Luminosity Used (pb ⁻¹)	$\epsilon * A$ (%)	coverage
W \rightarrow ev CDF	48.0K	94.0	72	23.1	2.8
	DZero	117K	97.0	177.3	central
W \rightarrow $\mu\nu$ CDF	57K	90.5	193.5	9.6	central
	Dzero	8.3K	88.0	17	1.6
Z $\rightarrow ee$ CDF	4.2K	98.5	72	22.7	2.8
	DZero	4.6K	98.0	177.3	central
Z $\rightarrow \mu\mu$ CDF	3.6K	99.6	193.5	7.3	central
	DZero	6.1K	98.9	148	1.8

Similar efficiencies and purities

- CDF: Includes forward electrons
- D \emptyset : Includes forward muons
- Improved stat + combined results in the near future



Lepton universality

e- μ universality tested with $R\mu/Re = g^2\mu/g^2e$ by CDF

$$g\mu/ge = 0.998 \pm 0.004_{\text{sta}} \pm 0.011_{\text{sys}}$$

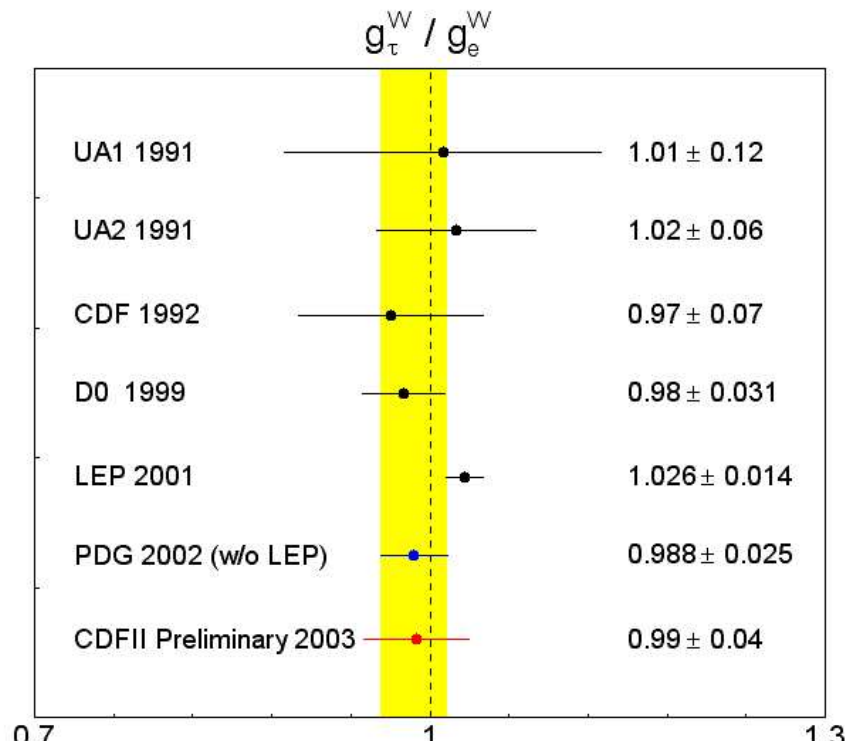
R combined e and μ

$$\sigma \times \text{Br}(W \rightarrow l\nu) = 2775 \pm 10_{\text{sta}} \pm 53_{\text{sys}} \pm 167_{\text{lum}} \text{ pb}$$

$$\sigma \times \text{Br}(Z/\gamma^* \rightarrow l^+l^-) = 254.9 \pm 3.3_{\text{sta}} \pm 4.6_{\text{sys}} \pm 15.2_{\text{lum}} \text{ pb}$$

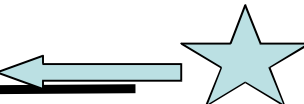
$$\text{Br}(W \rightarrow \tau\nu)/\text{Br}(W \rightarrow e\nu) = 0.99 \pm 0.04 \pm 0.07$$

$$\rightarrow g\tau/ge = 0.99 \pm 0.02_{\text{sta}} \pm 0.04_{\text{sys}}$$



Stat Error, W Width

Source	$\Delta\Gamma(W)$ (MeV)
EM Energy Resolution	51
HAD Energy Resolution	50
W Underlying Event vs MB events	47
HAD Momentum Response	40
EM Energy Scale	23
pT(W)	29
PDF	27
W Boson Mass	15
Primary Vertex	10
Selection Bias	10
Position Resolution	7
Underlying Event Correction	4
Backgrounds	3
Radiative Decays	3
Total Systematic Uncertainty	107
Total Statistical Uncertainty	93
Total Uncertainty	142



For the W mass measurement, we can not hide behind the stat error. Run I stat error 70 MeV for 82 pb-1. For 500 pb⁻¹ -> 33 MeV

	Run II p14	Run I
Electron resolution at 40 GeV	1.8 GeV	.98 GeV
Uparallel resolution	4.3 GeV	4.3 GeV
M_T res at 80 GeV	5.6 GeV	4.7 GeV
	Run I	Run II p14->p17
Calorimeter resolution at 40 GeV	.98 GeV	4% (1.8 GeV) ->2%? (1.2 GeV)
RMS of MET from UE	4.3 GeV	4.3 GeV ->??

Electroweak Physics: Properties of W and Z bosons

Measurement of the W mass at the LHC

m_W is important parameter in precision tests of the SM

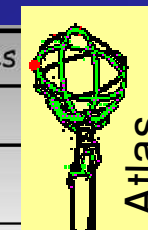
2004: $m_W = 80\,425 \pm 34$ MeV

LEP & Tevatron Run I

2007: $m_W \approx 80 \dots \pm 20$ MeV ($2.5 \cdot 10^{-4}$) incl. Tevatron Run II

Improvement at the LHC requires control of systematic error to 10^{-4} level

Source	CDF Run Ib	ATLAS or CMS	$W \rightarrow l\nu$, one lepton species
	30K evts, 84 pb ⁻¹	60M evts, 10fb ⁻¹	
Statistics	65 MeV	< 2 MeV	
Lepton scale	75 MeV	15 MeV	most serious challenge
Energy resolution	25 MeV	5 MeV	known to 1.5% from Z peak
Recoil model	33 MeV	5 MeV	scales with Z statistics
W width	10 MeV	7 MeV	$\Delta\Gamma_W \approx 30$ MeV (Run II)
PDF	15 MeV	10 MeV	
Radiative decays	20 MeV	< 10 MeV	(improved Theory calc)
$P_T(W)$	45 MeV	5 MeV	$P_T(Z)$ from data, $P_T(W)/P_T(Z)$ from theory
Background	5 MeV	5 MeV	
TOTAL	113 MeV	≤ 25 MeV	Per expt, per lepton species



Atlas

- Take advantage from large statistics
 $Z \rightarrow e^+e^-$, $\mu^+\mu^-$
- Combine channels & experiments
 $\Rightarrow \Delta m_W \leq 15$ MeV

Drell-Yan Lepton-Pair Production

➤ Forward-backward asymmetry

estimate quark direction

assuming $x_q > x_{q^-}$

➤ Measurement of $\sin^2\vartheta_W$ effective

- 2004: LEP & SLD

$$\sin^2\vartheta_W = 0.23150 \pm 0.00016$$

➤ A_{FB} around Z-pole

- large cross section at the LHC

$$\sigma(Z \rightarrow e^+e^-) \approx 1.5 \text{ nb}$$

- stat. error in 100 fb^{-1}
incl. forward electron tagging
(per channel & expt.)

$$\Delta \sin^2\vartheta_W \approx 0.00014$$

➤ Systematics (probably larger)

- PDF
- Lepton acceptance
- Radiative corrections

